

9. Beugung (Skalare Theorie)

- Abweichung der Lichtausbreitung vom Strahlengang der geometrischen Optik
z. B. Licht kann in den geometrischen Schatten eindringen ("um die Ecke biegen").

Mathematische Problemstellung

Lösen die Wellengleichungen für \vec{E} und \vec{B} zu vorgegebenen Randbedingungen an den Oberflächen des Objekts, das die Beugung verursacht. Diese Problem kann nur in wenigen Fällen exakt gelöst werden*).

Hier betrachten wir daher nur die skalare Beugungstheorie. Blaube man sich wieder für Polarisationseffekte interessieren ist diese Näherung auch gerechtfertigt, da jede kartesische Komponente der Vektorfelder die Wellengleichung erfüllt. Weiter vernachlässigt man damit auch Effekte, die nur den nicht strahlenden Feldern nahe der Oberfläche des beugenden Objekts liegen.

*) A. Sommerfeld, Bd IV Optik, Harri
Deutsch Verlag, § 38.

Die skalare Beugungstheorie ist dann eine gute Näherung, wenn der Beobachtungspunkt einige Wellenlängen vom beugenden Objekt entfernt ist, und unter sog. paraxialen Bedingungen, unter denen Polarisations Effekte minimal sind. Die Theorie der skalaren Beugung gilt streng für akustische (Druck) Wellen in einem homogenen Medium.

Annahme: Alle Information, die für die Berechnung der Intensität elem. Strahlung an einem bestimmten Raumpunkt notwendig ist, ist in einer skalaren Wellenfunktion $\underline{\psi}(\vec{r}, t)$ enthalten; $\underline{\psi}(\vec{r}, t)$ spezifiziert die Amplitude und Phase der Welle. Falls man monochromatisches Licht vorliegen hat, so gilt

$$\underline{\psi}(\vec{r}, t) = \psi(\vec{r}) e^{-i\omega t}$$

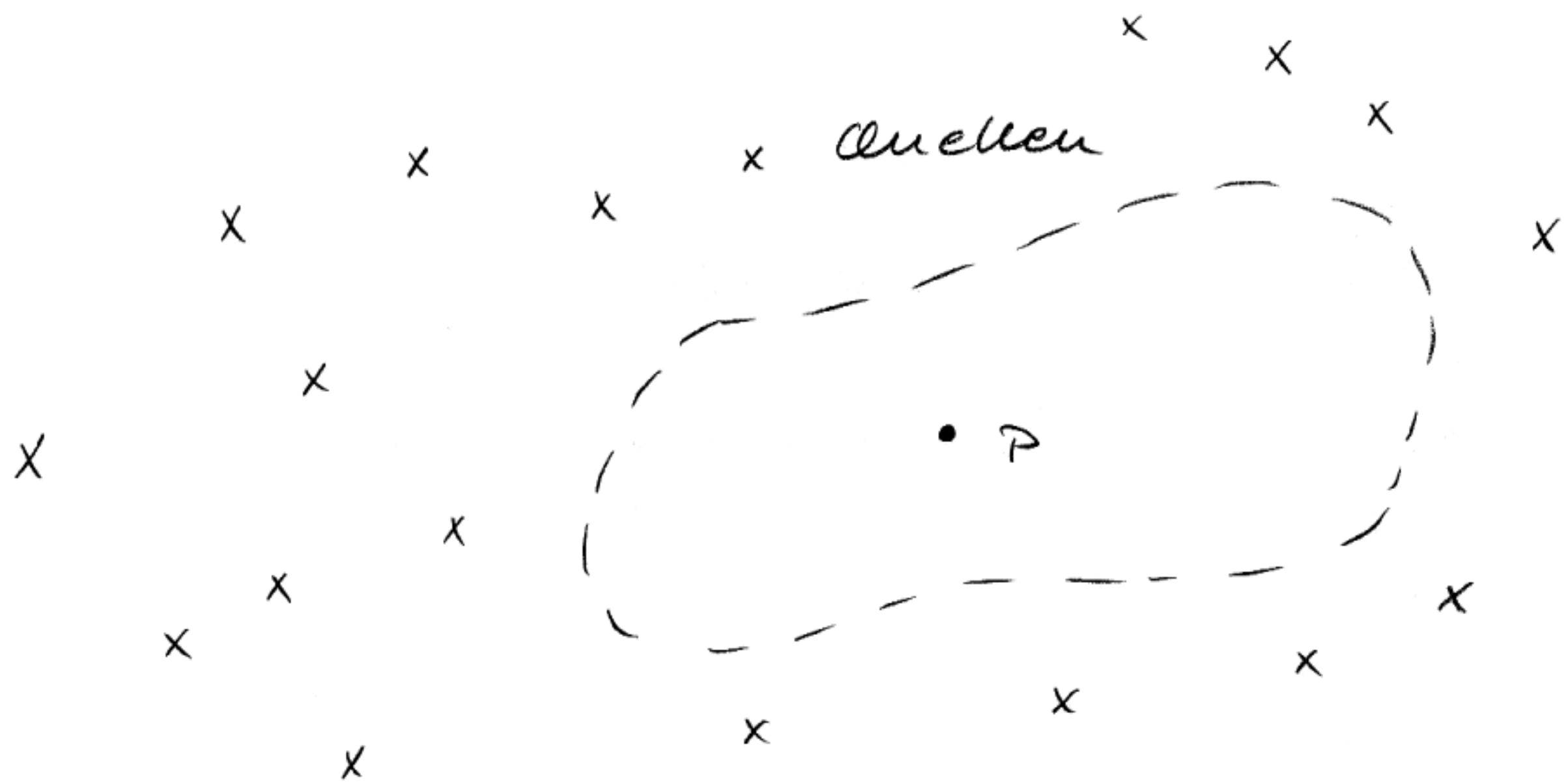
$$\text{Intensität} \sim |\psi(\vec{r})|^2$$

Die Wellengleichung reduziert sich dann auf die Helmholtzgleichung

$$(\Delta + k^2) \psi = 0$$

$$\text{mit } k = \frac{\omega}{c}.$$

9.1. Das Helmholtz-Kirchhoff-Integral



Um die Amplitude $\psi(P)$ der elem. Welle an einem Punkt P zu berechnen, das von einer Zahl von Quellen herührt, ist es ausreichend die Amplituden und Phasen der von diesen Quellen ausgehenden elem. Wellen zu kennen. Das Feld am Punkt P ergibt sich aus einer Summe über diese Beiträge (lineare Superposition).

Alternativ kann man das Feld auch aus einer Spezifikation der gesamten Wellenfunktion auf einer Oberfläche gewinnen, welche den Punkt P einschließt, aber keine Ladungen (siehe die gestrichelte Kurve in obiger Abbildung). Dieser Ansatz ist für die Berechnung von Beugungseffekten aufgrund von opaquen Schirmen mit Öffnungen besser geeignet.

$\psi(\vec{r})$ genügt der Helmholtz Gleichung

$$\left[(\Delta + k^2) \psi(\vec{r}) = 0 \quad ; \quad k = \frac{\omega}{c} \right]$$

Betrachte nun eine weitere Funktion $\chi(\vec{r})$,
 der wir noch keine physikalische Bedeutung
 zuweisen, die auch der Helmholtz Gleichung
 genügt

$$(\Delta + k^2) \chi(\vec{r}) = 0$$

Nach dem 2. Green'schen Satz gilt

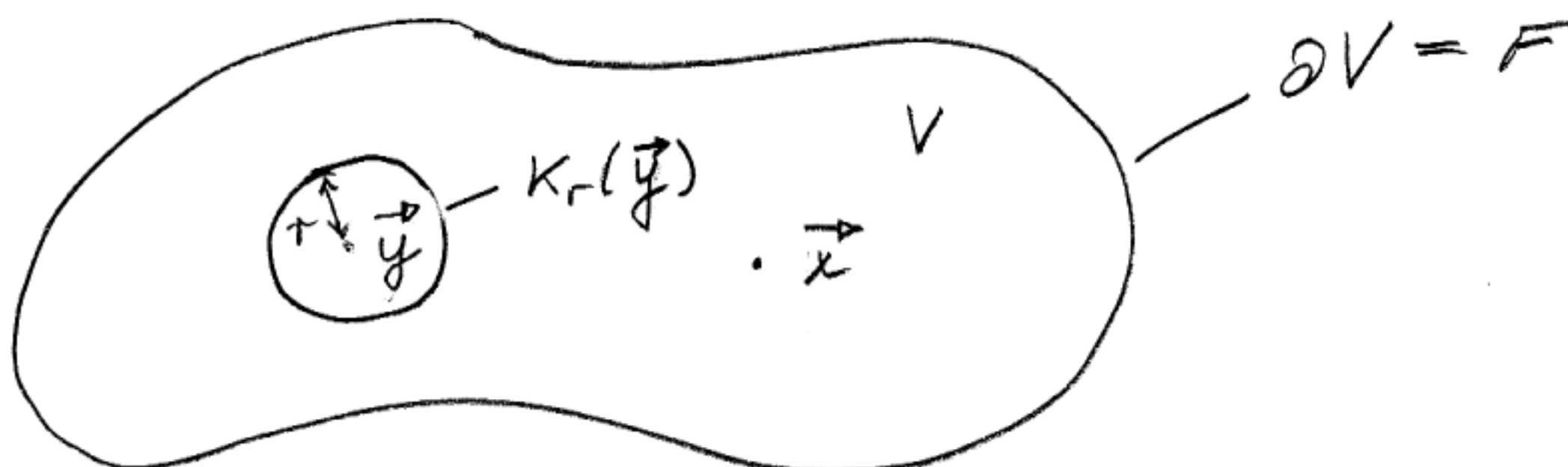
$$\int_V (\psi \Delta \chi - \chi \Delta \psi) dV = \int_{\partial V} \left(\psi \frac{\partial \chi}{\partial n} - \chi \frac{\partial \psi}{\partial n} \right) dF$$

für ein Gebiet V mit Rand ∂V .

Wir setzen nun χ gleich der Green'schen
 Funktion für die Helmholtz Gleichung

$$\chi = G(\vec{x}, \vec{y}) = \frac{\exp(ik|\vec{x} - \vec{y}|)}{|\vec{x} - \vec{y}|}$$

und spawn bei $\vec{y} \in V$ eine kleine Kugel
 aus (\rightarrow Skizze), die den Radius r hat.



Dann verwendet man die linke Seite der
 2. Green'schen Identität identisch.

$$\phi(\vec{y}) = \frac{1}{4\pi} \int_F \left[G(\vec{x}, \vec{y}) \vec{\nabla}_{\vec{x}} \phi(\vec{x}) - \phi(\vec{x}) \vec{\nabla}_{\vec{x}} G(\vec{x}, \vec{y}) \right] \vec{n} \cdot d\vec{f}$$

"
 P

≡ Helmholtz - Kirchhoff - Integral

$\vec{y} = P$; \vec{x} liegt auf F

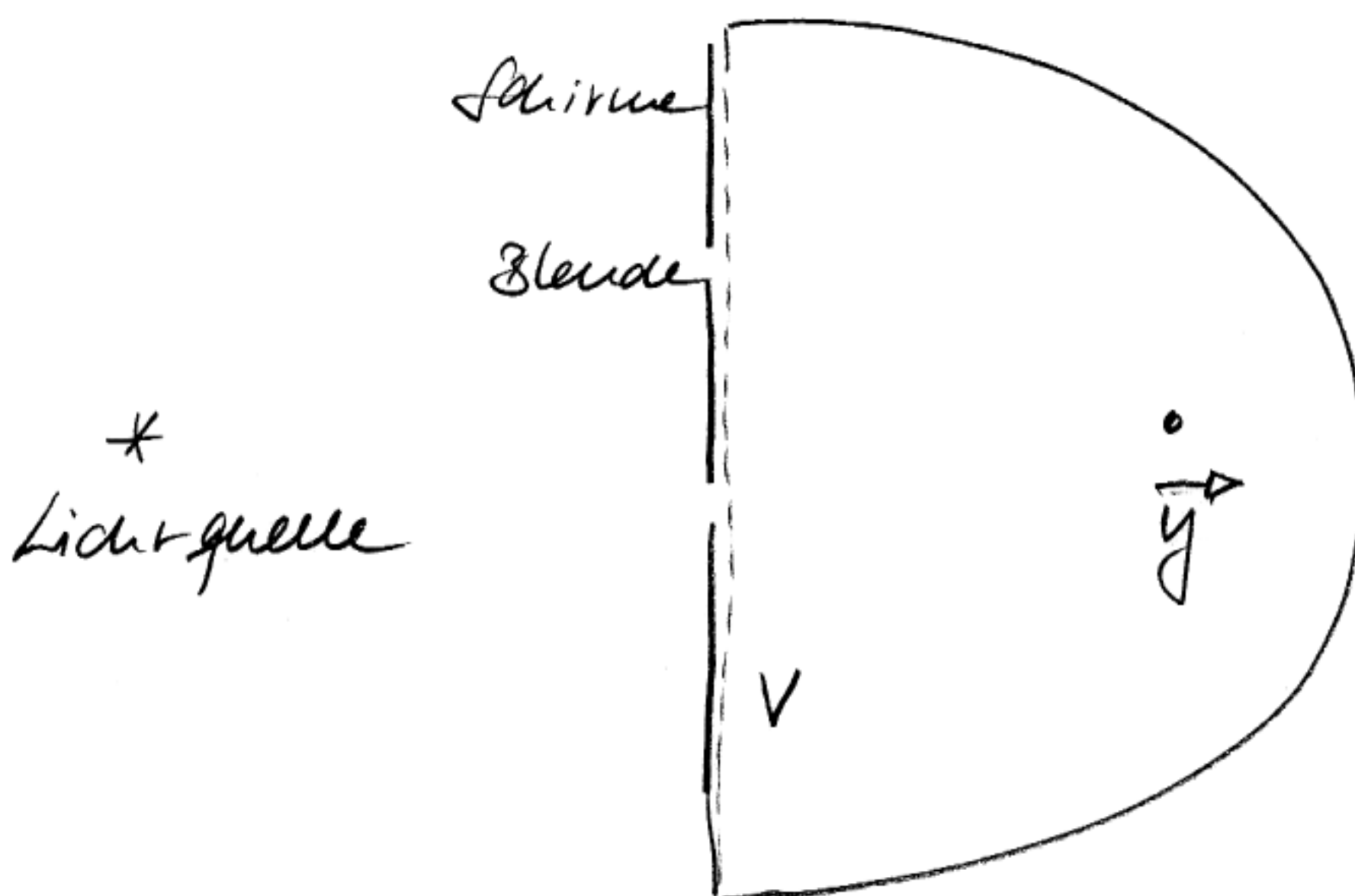
Diese exakte Relation drückt die gesuchte Funktion $\phi(\vec{y})$ durch die Randwerte von ϕ und $\frac{\partial \phi}{\partial n}$ aus, und stellt natürlich keine Lösung des Problems dar, sondern nur wie schon bei den elektrost. Randwertproblemen eine Integralgleichung!

9.2. Die Kirchhoff'sche Näherung

Das Beugungsproblem besteht darin, daß man die Auswirkungen von (undurchsichtigen) Schirmen und Blenden auf die Lichtausbreitung bestimmen möchte. Der ganze Raum außerhalb des Materials des Schirms ist von der Lichterzeugung ϕ erfüllt zu denken, die der Helmholtzgleichung genügt und in den Lichtquellen gewisse Singularitäten aufweist. Die Art dieser Singularitäten ist zunächst unbekannt, ebenso wenig aber auch der genaue Einfluß der Schirme, d.h. die Randbedingungen, denen die Funktion ϕ an der

Oberfläche der Schirme zu geringen Wert.
 Es zeigt na allerdings, daß die Beugungs-
 enderungen sehr unempfindlich auf die
 plupikae. Bedrafferheit der Schirme sind.
 Wäre beide bekannt, so hätte man ein
 Randwertproblem für die Wellengleichung
 mit vorgegebenen Singularitäten gegeben.

Kirchhoff ging von der Tatsache aus, daß
 bei grober Beobachtung das Licht sich
 von der Quelle bis zu dem Schirmen
 ungestört ausbreitet und erst hinter
 engen Blenden ein Einfluß der Schirm-
 wände bemerkbar ist.



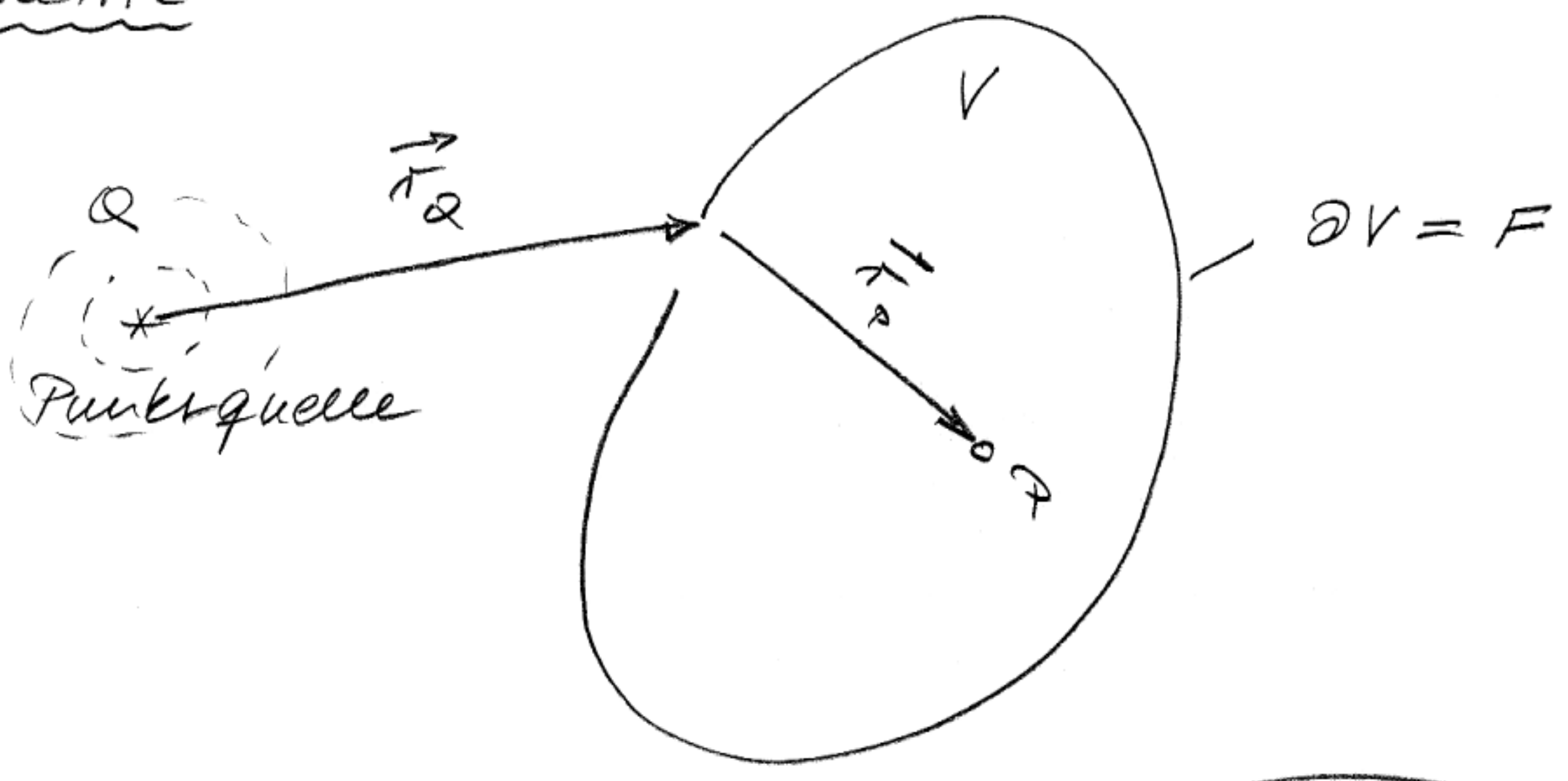
- 2) $\frac{\partial \psi}{\partial n} = 0$ in 1. Nhrq auf Rückseite der Schirme
- Für Teile der Fläche ∂V , die Blenden überspannen, nehmen als Randwerte die Werte der ungestörten Lichtausbreitung $\psi = \psi^0$) $\frac{\partial \psi}{\partial n} = \frac{\partial \psi^0}{\partial n}$ Blende

Verfañndert man Solime und Öftnungen
(komplementäre Anordnung), so erfüllen
die zugehörigen Lösungen z und \bar{z}
(- = Lösung zu komplementärer Anordnung)

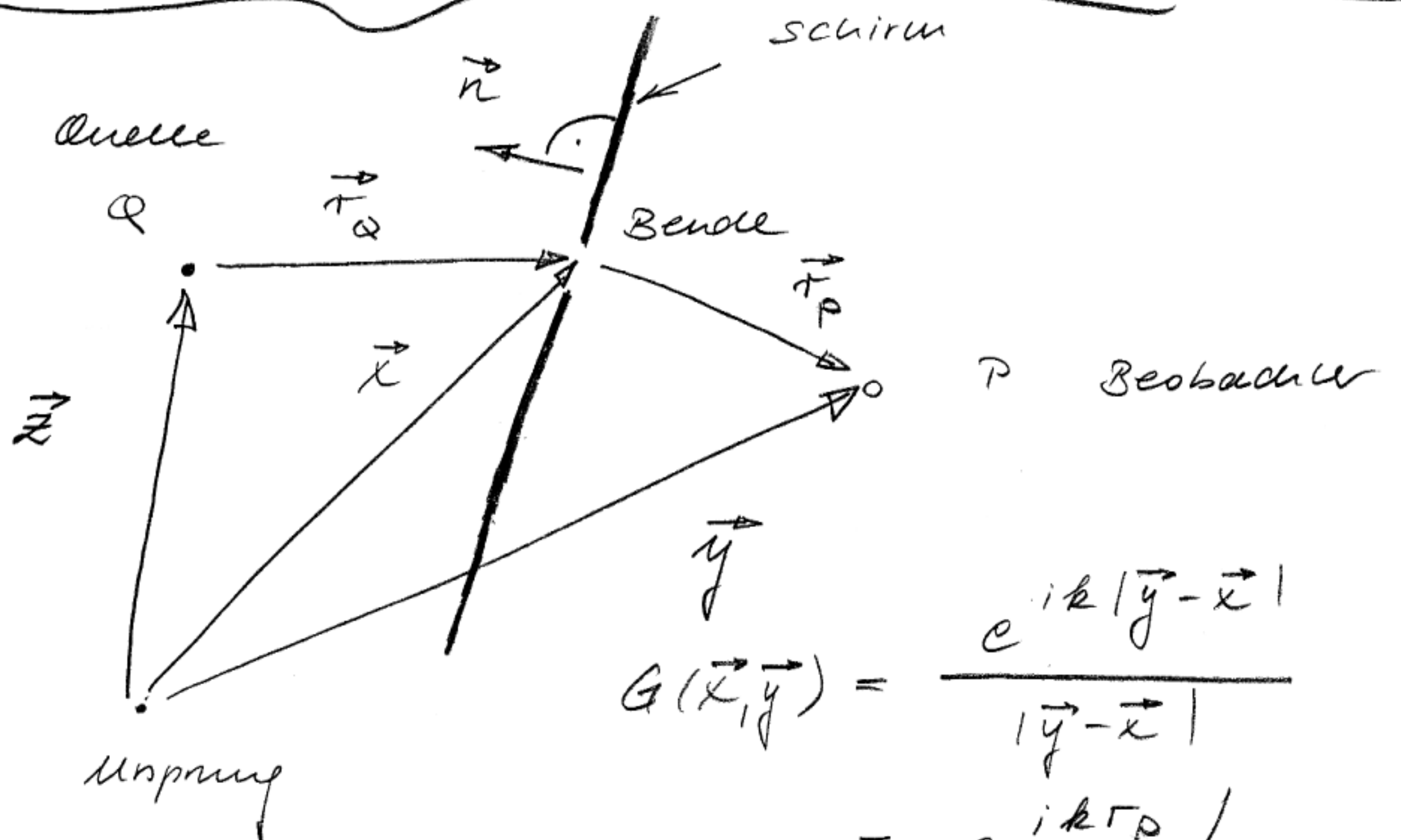
$$z + \bar{z} = z^0$$

= Babinet'sches Prinzip.

Geometrie



$$\phi(\vec{y}) = \frac{1}{4\pi} \oint_F \left(G(\vec{x}, \vec{y}) \vec{\nabla} \phi(\vec{x}) - \phi(\vec{x}) \vec{\nabla} G(\vec{x}, \vec{y}) \right) d\vec{f}$$



Kirchhoff'sche Annahmen

- (1) $\phi, \frac{\partial \phi}{\partial n} = 0$ auf Rückseite der Schirme
- (2) $\phi = \phi^0 = A \exp(ik|\vec{r}_Q|) / r_Q$
 $\frac{\partial \phi}{\partial n} = \frac{\partial \phi^0}{\partial n}$
 auf Blende

Mit den Kirchhoff'schen Näherungen
 kann man sich die Integralgleichung in der
 Helmholtz-Kirchhoff'schen Integralgleichung
 auf eine Integralgleichung über die
 Blenden (Öffnungen), wobei außerdem
 φ durch die von Punkt Q ausgehende
 ungestörte Welle ersetzt wird.

$$\varphi(\vec{y}) = \frac{1}{4\pi} \int_{\mathcal{B}} [G \nabla \varphi^0 - \varphi^0 \nabla G] d\vec{f} \quad (1)$$

Die Helmholtz-Kirchhoff Gleichung gilt
 auch für φ^0 , d.h.

$$\varphi^0(\vec{y}) = \frac{1}{4\pi} \int_{\mathcal{F}} [G \nabla \varphi^0 - \varphi^0 \nabla G] d\vec{f} \quad (2)$$

Teile man das Integral über \mathcal{F} auf

$$\int_{\mathcal{F}} = \int_{\mathcal{S}} + \int_{\mathcal{B}} \quad \begin{array}{l} \mathcal{S} = \text{Schirm} \\ \mathcal{B} = \text{Blende} \end{array}$$

(1), (2)

$$\begin{aligned} \leadsto \varphi(\vec{y}) &\stackrel{(1)}{=} \frac{1}{4\pi} \int_{\mathcal{B}} \dots = \frac{1}{4\pi} \left(\int_{\mathcal{F}} \dots - \int_{\mathcal{S}} \dots \right) = \\ &\stackrel{(2)}{=} \varphi^0(\vec{y}) - \frac{1}{4\pi} \int_{\mathcal{S}} [G \nabla \varphi^0 - \varphi^0 \nabla G] d\vec{f} \end{aligned}$$

Eine äquivalente Form der Kirchhoff-Näherung lautet
 also

$$\varphi(\vec{y}) = \varphi^0(\vec{y}) - \frac{1}{4\pi} \int_{\mathcal{S}} [G \nabla \varphi^0 - \varphi^0 \nabla G] d\vec{f} \quad (1)'$$

Mit den Kirchhoff Annahmen wird somit
an dem Helmholtz - Kirchhoff Integral

$$\varphi(\vec{y}) = \frac{A}{4\pi} \int_{\text{Blende}} \left(\frac{e^{ikr_p}}{r_p} \vec{\nabla} \frac{e^{ikr_q}}{r_q} - \frac{e^{ikr_q}}{r_q} \vec{\nabla} \frac{e^{ikr_p}}{r_p} \right) d\vec{f}$$

Für die Auswertung des Integrals wollen wir annehmen daß sowohl Quellpunkt Q als auch Beobachtungspunkt P einen Abstand zur Blende haben, der groß im Vergleich zur Wellenlänge λ ist.

*) $r_p, r_q \gg \lambda$

$$\varphi(\vec{y}) = ik \frac{A}{4\pi} \int_B \frac{e^{ik(r_p+r_q)}}{r_p r_q} (\hat{e}_q - \hat{e}_p) \cdot \vec{n} d\vec{f}$$

Fresnel Kirchhoff'sche
Beugungsintegral

$$\hat{e}_q = \frac{\vec{r}_q}{r_q}; \quad \hat{e}_p = \frac{\vec{r}_p}{r_p}$$

*) Nebenrechnungen:

$$\begin{aligned} \vec{n} \cdot \vec{\nabla}_x \frac{e^{ikr_q}}{r_q} &= \frac{\vec{n} \cdot \vec{r}_q}{r_q} \left(ik - \frac{1}{r_q} \right) \frac{e^{ikr_q}}{r_q} \\ &\approx \frac{\vec{n} \cdot \vec{r}_q}{r_q} (ik) \frac{e^{ikr_q}}{r_q} \end{aligned}$$

$$\vec{n} \cdot \vec{r}_q = -r_q \cos \Theta_q$$

Θ_q = Einfallswinkel zum Lot auf Blende
(Beobachtung Richtung der Normalenvektor)

Im Vergleich zu der schnell oszillierenden Exponentialfunktion kann man den Winkelanteil $(\hat{e}_Q - \hat{e}_P) \cdot \vec{n} = -(\cos \theta_Q + \cos \theta_P)$ praktisch als konstant annehmen. Hierbei tritt Beugung nur in der Nähe der Schellenperze auf.

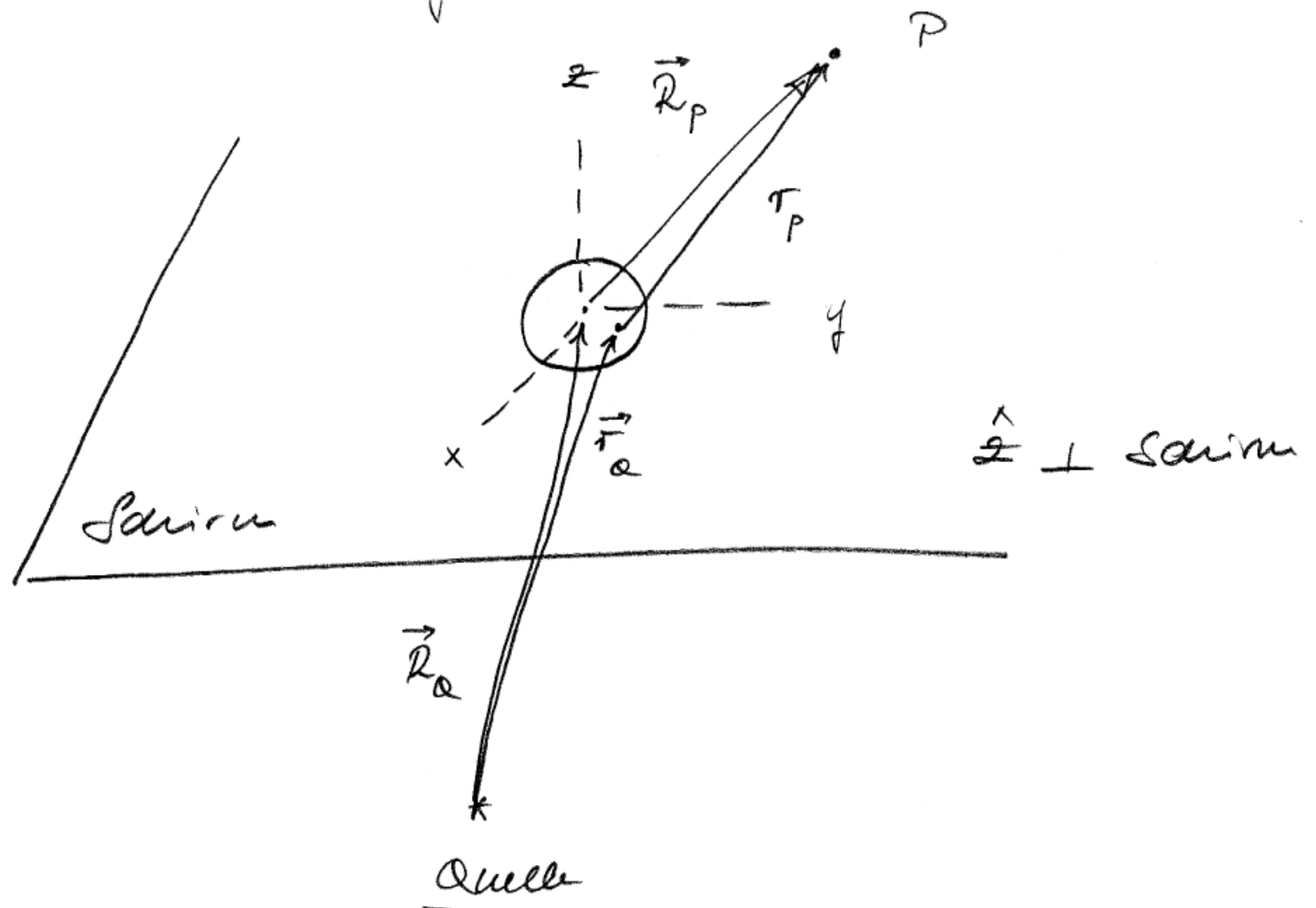
Im folgenden ersetzen wir $\frac{1}{2}(\cos \theta_Q + \cos \theta_P)$ durch einen mittleren Wert $\cos \delta$, und ebenso $\frac{1}{r_P r_Q}$ durch einen mittleren Wert $1/R_P R_Q$. Damit wird der Ausgangspunkt der Rechnung

$$\psi(\vec{y}) = A \frac{k}{2\pi i} \cos \delta \frac{1}{R_P R_Q} \int_B e^{ik(r_P + r_Q)} df$$

Huygensches Prinzip: Von jedem Punkt der Öffnung geht eine Kugelwelle $\frac{1}{r_P} e^{ikr_P}$ aus. Ihre Stärke und insbesondere ihre Phase wird von einer entsprechenden Kugelwelle $A \frac{1}{r_Q} e^{ikr_Q}$ bestimmt.

(Das Fresnel - Kirchhoff Integral liefert eine Begründung des Huygenschen Prinzips aus der Elektrodynamik)

Ebene Öffnung



(ξ, η) variabler in Öffnung

$$r_P = r$$

$$r^2 = (x - \xi)^2 + (y - \eta)^2 + z^2$$

$$r_Q = r'$$

$$(r')^2 = (x' - \xi)^2 + (y' - \eta)^2 + z'^2$$

$$R^2 = x^2 + y^2 + z^2$$

$$R'^2 = x'^2 + y'^2 + z'^2$$

Also $r^2 = R^2 - 2(x\xi + y\eta) + \xi^2 + \eta^2$

$$r'^2 = R'^2 - 2(x'\xi + y'\eta) + \xi^2 + \eta^2$$

Verwende $\sqrt{1 + \varepsilon^2} = 1 + \frac{1}{2}\varepsilon^2 - \frac{1}{8}\varepsilon^4 + \dots$



$$r = R - \frac{x\xi + y\eta}{R} + \frac{\xi^2 + \eta^2}{2R} - \frac{(x\xi + y\eta)^2}{2R^3} + \dots$$

$$r' = R' - \frac{x'\xi + y'\eta}{R'} + \frac{\xi^2 + \eta^2}{2R'} - \frac{(x'\xi + y'\eta)^2}{2R'^3} + \dots$$

Einsetzen ergibt dann

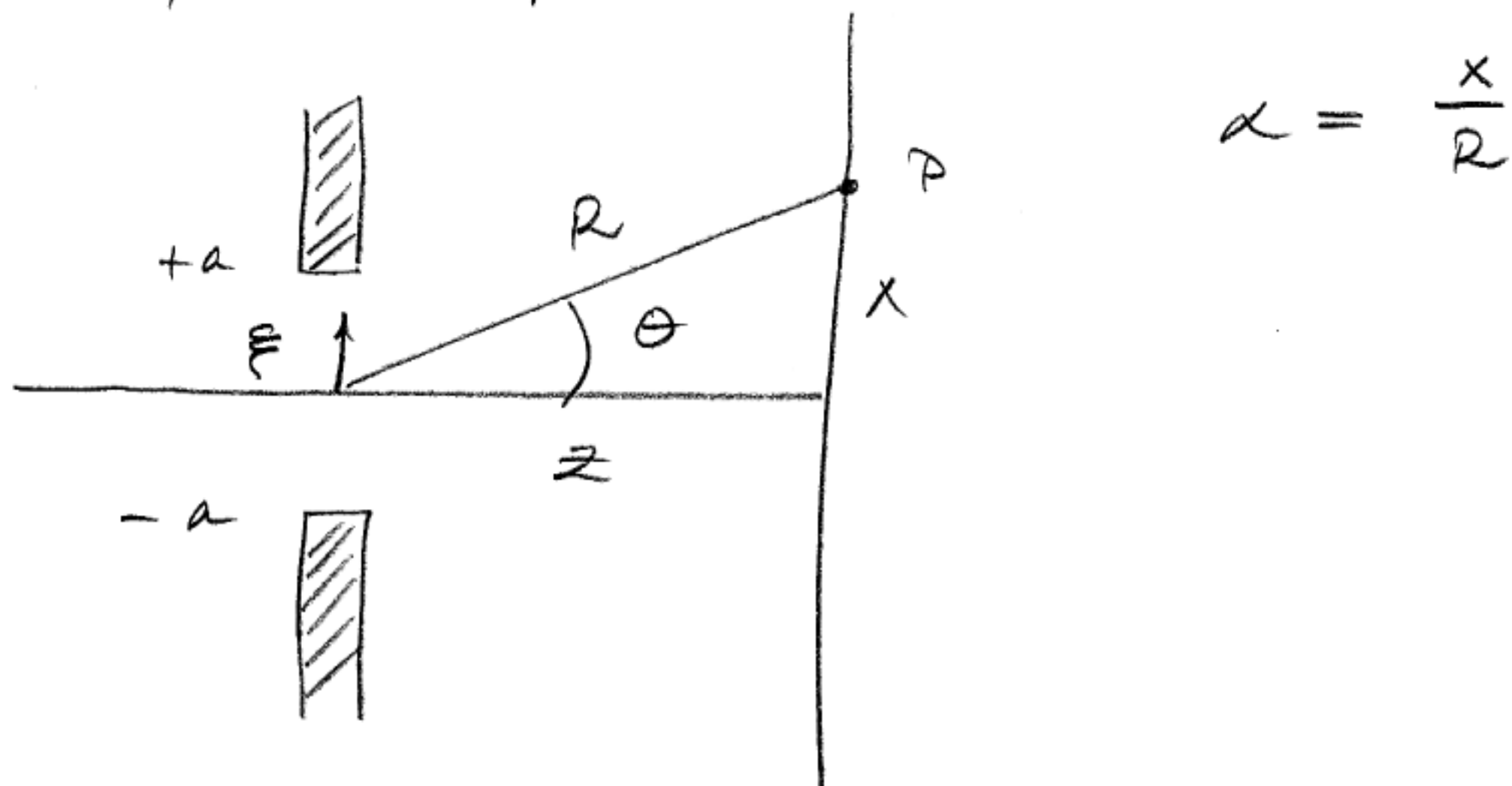
$$\varphi(\vec{y}) = A \frac{k}{2\pi i} \cos \delta \frac{e^{ik(R+R')}}{RR'} \int e^{ik\phi(\xi, \eta)} d\xi d\eta$$

Wobei

$$\phi(\xi, \eta) = - \frac{x\xi + y\eta}{R} + \frac{\xi^2 + \eta^2}{2R} - \frac{(x\xi + y\eta)^2}{2R^3} - \frac{x'\xi + y'\eta}{R'} + \frac{\xi^2 + \eta^2}{2R'} - \frac{(x'\xi + y'\eta)^2}{2R'^3} + \dots$$

Beispiele

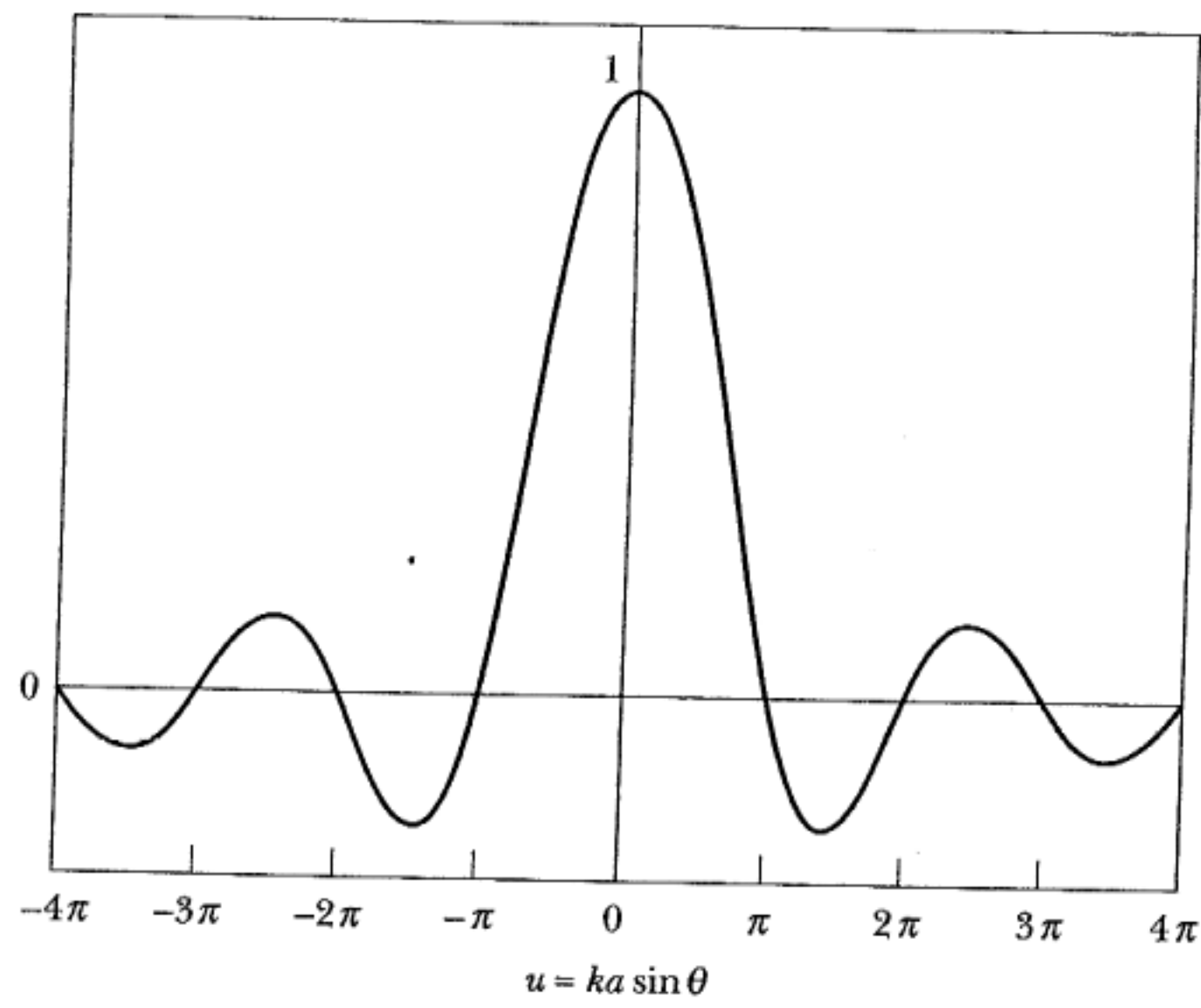
(a) Einfacher Spalt



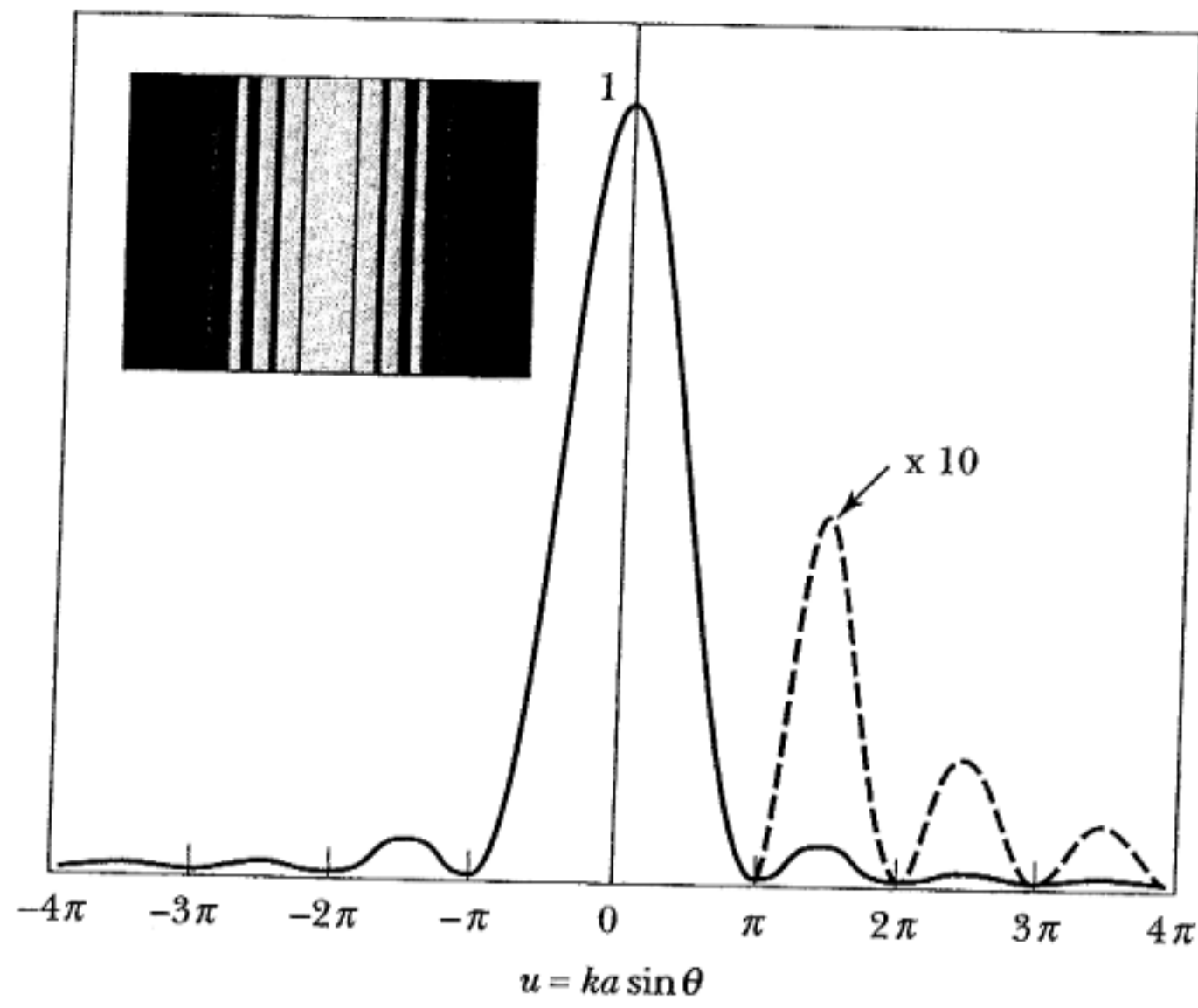
$$\begin{aligned}\psi(\theta) &\sim \int_{-a}^{+a} e^{-ik\alpha\xi} d\xi \\ &= \frac{i}{k\alpha} e^{-ik\alpha\xi} \Big|_{-a}^{+a} \\ &= i \cdot \frac{1}{k\alpha} (e^{-ik\alpha a} - e^{ik\alpha a}) \\ &= 2a \frac{\sin u}{u} = 2a \operatorname{sinc} u\end{aligned}$$

$$\begin{aligned}\text{mit } u = k\alpha a &= \frac{2\pi a}{\lambda} \sin\theta \\ &\approx \frac{2\pi a}{\lambda} \frac{x}{z}\end{aligned}$$

$$\begin{aligned}I(\theta) &\sim |\psi(\theta)|^2 \\ &\sim (\operatorname{sinc} u)^2\end{aligned}$$



(a) Amplitude

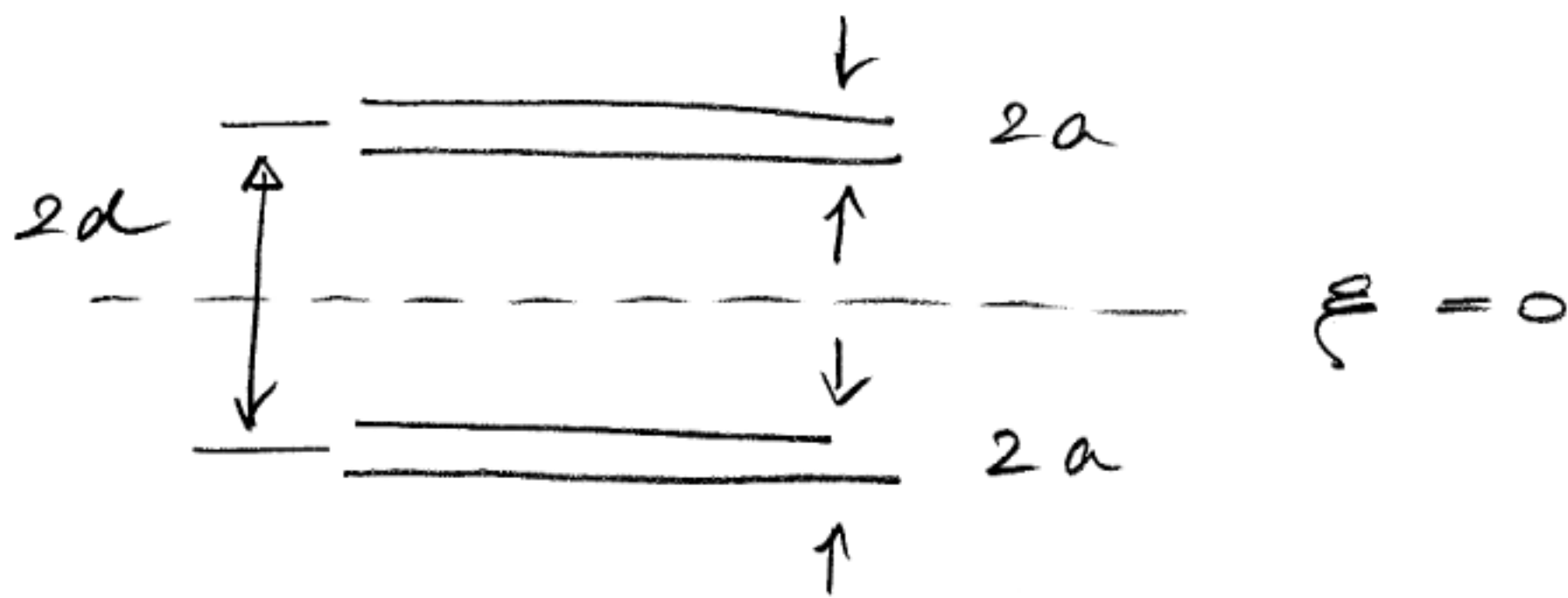


(b) Intensity

FIGURE 12-16. Amplitude and intensity of single-slit diffraction.

am Heard & Kana
 "classical electromagnetic
 radiation", Brooks / Cole

b) Doppelspalt



$$\mathcal{E} \sim \int_{-d-a}^{-d+a} e^{-ikx\xi} d\xi + \int_{d-a}^{d+a} e^{-ikx\xi} d\xi$$

$$= \frac{4}{kx} \sin(kxa) \cos(kxd)$$

$$I = I_0 \left(\frac{\sin u}{u} \right)^2 \cos^2 v$$

$$u = kxa = ka \sin \theta$$

$$v = kxd = kd \sin \theta$$

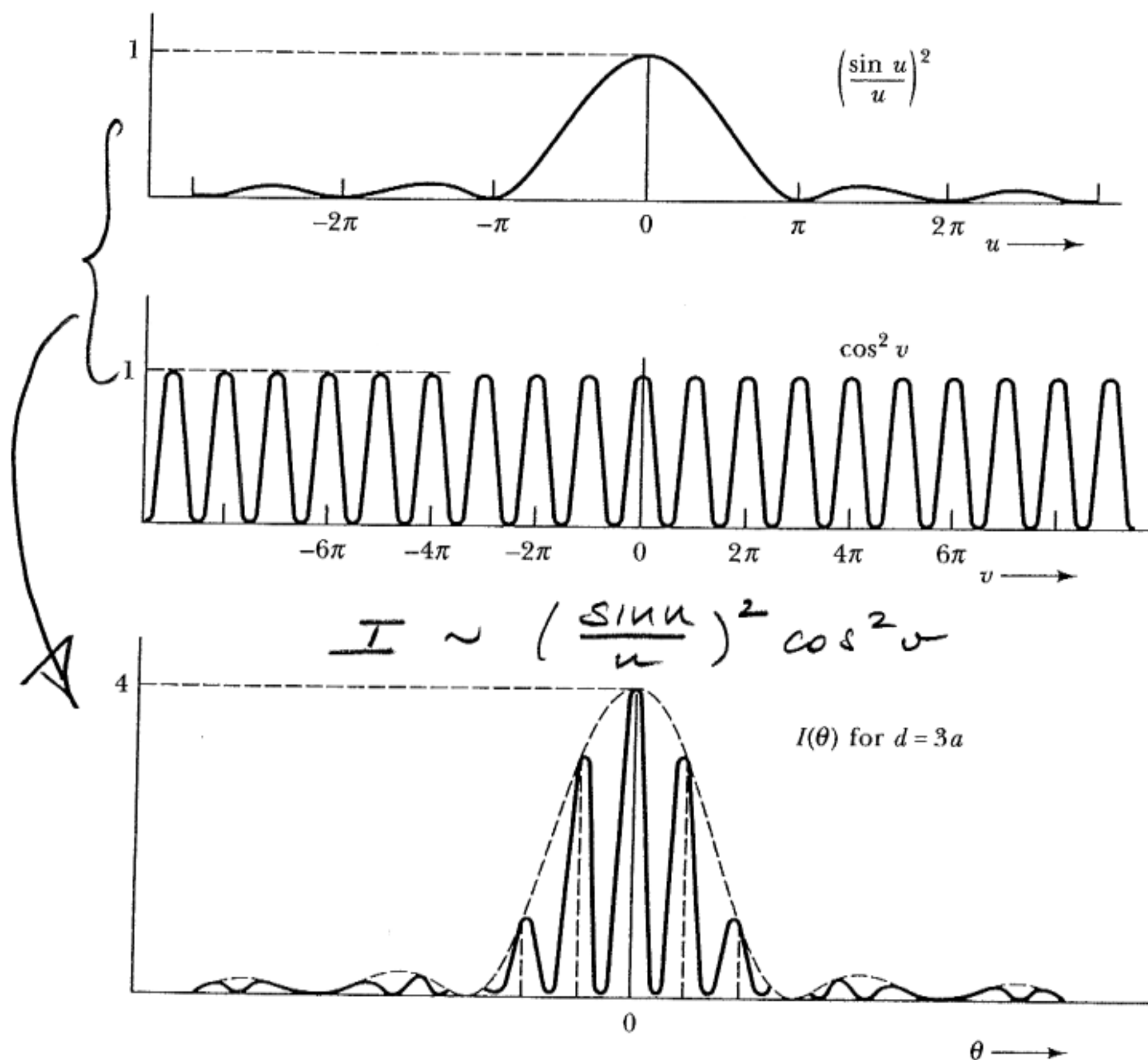


FIGURE 12-18. Diffraction and interference factors for double slit.

c) Rechteckige Apertur

$$H \sim \int_{-a}^a e^{-ik\alpha\xi} d\xi \int_{-b}^b e^{-ik\beta\eta} d\eta$$

$$\underline{I} = \underline{I}_0 \left(\frac{\sin u_a}{u_a} \right)^2 \left(\frac{\sin u_b}{u_b} \right)^2$$

$$u_a = k\alpha a \equiv \frac{2\pi a}{\lambda} \frac{x}{z}$$

$$u_b = k\beta b \equiv \frac{2\pi b}{\lambda} \frac{y}{z}$$

Produkt von Beugern an zwei
zueinander \perp Spalten.

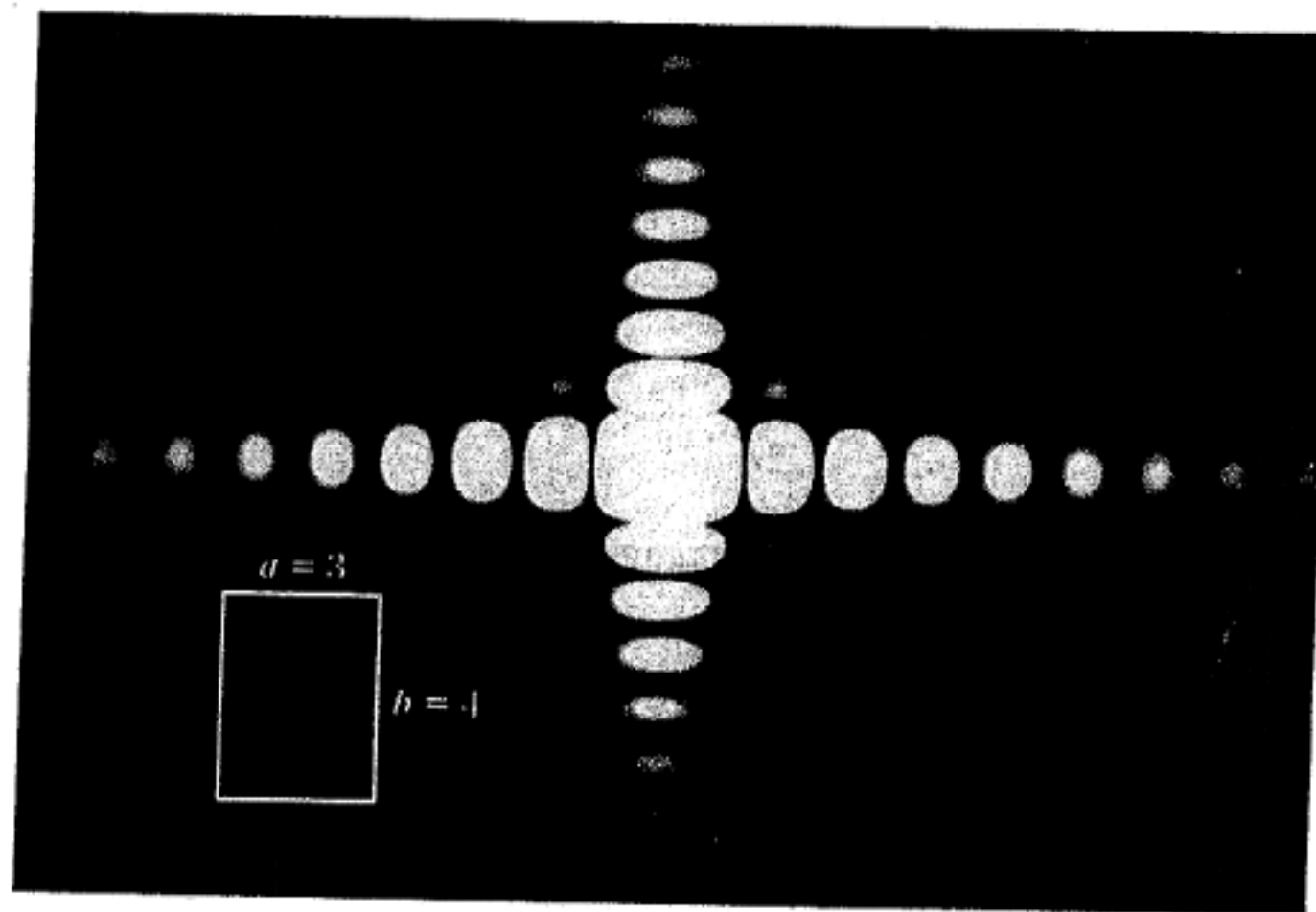


FIGURE 12-20. Diffraction pattern of rectangular aperture.